

**COVID-19 БИЛАН КАСАЛЛАНГАН ЎЗБЕК БЕМОРЛАРИДА, ГЕМОСТАЗНИ
БУЗИЛИШ ДАРАЖАСИ ВА МТНФР ГЕНИ rs1801133 ВА rs1801131
ПОЛИМОРФИЗМЛАРИ ЎРТАСИДА БОГЛИҚЛИК.**

Иноярова Ф.Х.

Курбонова З.Ч.

Бабаджанова Ш.А.

Тошкент тиббиёт академияси

Абстракт. COVID-19 қўзгатувчиси SARS-CoV-2 индуцирлаган эндотелиоцитлар алтерацияси ва цитокинли бўрон натижасида, касаллик давомида гиперкоагулопатия холати юзага келмоқда. Афсуски, бунинг натижасида эса COVID-19 билан хасталанган bemорларда хаётий мухим органларда тромбозлар юзага келиши натижасида мажсрухлик ва летал холатлар кузатилмоқда. Шу сабабли, тромбофил генларини бири саналган MTHFR гени A1298C (rs 1801131), C677T (rs 1801133) полиморфизмларини ўзбек популяциясида ўрганиш ва бу генни C (rs 1801131) ва T (rs 1801133) минор аллелларини COVID-19 патогенезидаги ахамияти аниқлаши ва гипергомоцистеинемия кузатилувчи bemорларда COVID-19 касаллиги даражасини баҳолаш мухим ахамият касб этади. Буни аниқлаш орқали эса, касалликни оғир формада ўтишига мойиллиги борларни саралаб уларда, маҳсус профилактив ва терапевтик амалияётларни ўтказиш орқали, COVID-19 келтириб чиқарииши мумкин бўлган турли хил оғир асоратларни олдини олиш мумкин.

Калит сўзлар. MTHFR, полиморфизми, rs 1801131, rs 1801133, ёввойи аллел, минор аллел фолат цикли, гипергомоцистеинемия, эндотелиал дисфункция.

Кириш. Коронавирус инфекцияси (COVID-19) бутун дунё бўйлаб тез тарқалган, оғир асоратлар билан кечадиган янги инфекцион касалликдир. 2019 йил декабрида Уханда номаълум инфекция эпидемик ўчоғи кузатилиб, кўп сонли bemорларда пневмония ривожланиши Хитой соғлиқни саклаш тизимида фавқулодда вазиятни келтириб чиқарди [7]. Хитой касалликларни назорат қилиш ва профилактика маркази bemорларнинг томоқ суртмасидан тайёрланган экмани ўрганиб чиқди ва ушбу ҳолатни янги турдаги бета-коронавируслар келтириб чиқарганлигини тасдиқлади [6]. Янги вирус SARS-CoV-2 (severe acute respiratory syndrome coronavirus) оғир ўткир респиратор синдромкоронавируси деб аталди [8].

COVID-19 тизимли касаллик бўлиб, гипериммун ялигланиш, ренин-ангiotензин-альдостерон тизими дисбаланси, эндотелиал дисфункция ва оғир васскулопатия (тромботик микроангиопатия ва томир ичи коагулопатияси) ривожланиши билан кечади [9].

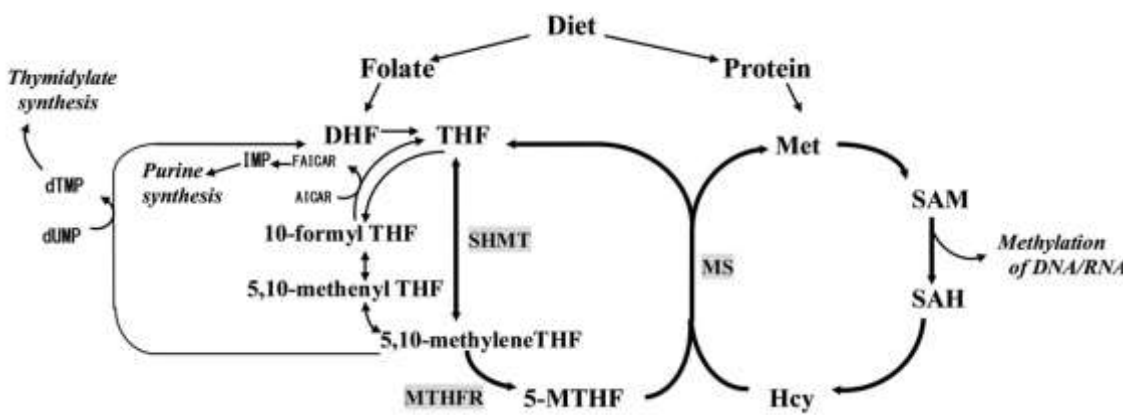
SARS-CoV-2 хаёт цикли 5 босқичдан иборат бўлади. Биринчи босқичда, юқорида айтилганидек, SARS-CoV-2 ўзининг S оқсили ёрдамида хўжайин хужайрага ACE2 рецепторларига **бирикади** ва иккинчи босқичда бошқа хил хужайра ичи оқсиллари ёрдамида, хусусан катепсинлар ва TMPRSS2 хужайра ичига эндоцитоз ёки мембраналар бирикиши орқали **киради (пенентрация)**. Бу рецепторлар кўп миқдорда ўпкада, ичакларда, жигарда, юракда қон томир эндотелийсида, уруғдонда, буйракларда ва мияда экрессияланди. Шу сабабли COVID-19 касаллигида шу органлар турли хил бузилишлар келиб чиқади [10, 11]. Хўжайин хужайрага кирган вирус ўзининг S оқсили ёрдамила хужайра ферментларини хусусан кетепсин, фурин бошқа хил ферментлар орқали протеолитик ўзгаришларга учрайди ва нуклеокапсидидан вирус РНКси ажралиб чиқади. Вирус (+)РНКси хўжайин хужайра ферментлари ёрдамида трансляцияга учрайди ва ноструктурк оқсиллар ва репликация/транскрипция комплексини экспрессиялади (учинчи босқич – **биосинтез**). Тўртинчи босчиқда, улар орқали эса қайта репликацияланади ва охирги босқичда хўжайин хужайрадан чиқади [12, 13].

1. Тадқиқотлар шуни кўрсатдики, SARS-CoV-2 қон томир эндотелийсидаги ACE2 билан боғланиб, унинг цитопатик таъсири натижасида эндотелиал хужайраларини массив апоптозива некрозига, шуниндек, COVID-19 патогенезида юзага келган цитокин бўрони индуцирлаган эндотелиал дисфункция – гиперкоаглопатияга, томирларда тромбофилия ва тромбоз ҳосил бўлишига, қон томир ўтказувчанлиги ошишига, микроциркуляция бузилишига олиб келади. Бу ўзгаришлар эндотелиал дисфункция ҳамда локал ёки тизимли васкулит ривожланишига сабаб бўлади [14, 15].

Гемостаз тизими хақида гап кетар экан, фолат цикли хақида сўз юритиш мантиқга тўғри келади. Зоро, фолат циклини етишмовчиилиги натижасидаги пергомоцистеинемия – гиперкоагулопатия индуцирлаши кўп татқиқотлар орқали исботланган [16, 17].

Фолат кислота организмга алиментар йўл орқали полиглутамат кўринишида тушади ва энтероцитлардаги SLC19A1 ва PCFT транспортерлар орқали сўрилиши учун моноглутаматларга глутамат карбоксипептидаза II (GCPII) ферменти ёрдамида парчаланади. Хужайра ичидаги эса, фолат кислота сақланиши учун қайта деконюгиранади. Хужайра ичидаги фолат полиглутамат кўринишиша сақланаётган фолат кислоталари фолат циклига кириши учун қайтарилиб дигидрофолат (DHF) кўринишига ўтиши керак. Сўнг, дигидрофолат яна қайтарилиб тетрагидрофолатга (THF) ўтса (дегидрофолат редуктаза ферменти оқрали NADPH ёрдамида), тетрагидрофолат Серин-гидроксиметилтрансфераза ферменти ёрдамида 5,10-метилентетрагидрофолат (5, 10-methyleneTHF) трасформацияланади. Ва нихоят, 5, 10-methyleneTHF актив формага – 5-метилтетрагидрофолатга MTHFR (methylenetetrahydrofolate reductase) ферменти ёрдамида айланади. Фолат ва гомоцистеин метаболизмини кейинги босқичлари, 5-метилтетрагидрофолат ўз метил

гурухини (-CH₃) гомосистеин беріб ундан метионин ҳосил бўлиши билан давом этади. Натижада 5-метитетрагидрофолатнинг ўзи тетрагидрофолатга айланади. Бу жараён - MTP (methionine synthase) ферменти орқали бошқарилади ва B12 бу ҳолатда кофактор сифатида рол ўйнайди. Аммо маълум вақтдан сўнг B12 оксидланиши натижасида MTP инактивацияланиб қолади. Бу ҳолатда MTRP (methionine synthase reductase) ферменти B12 ни яна актив ҳолатга қайтаради. Гомосистеинданд ҳосил бўлган метионин метионинаденозилтрансфераза ферменти орқали S-аденозилметионин (SAM)га айланади. SAM организмда универсал метил гурухи донори сифатида, нуклеотидлар синтези, эпигеном ҳосил бўлиши ва унинг сақланиши, нейротрансмиттерлар, фосфолипидлар, гормонлар синтезида аҳамиятга эга [1, 2, 3, 4] (1-расмга қаралсин).



1-расм. Фолат ва метионин цикли. DHF = dihydrofolate; THF = tetrahydrofolate; 5-MTHF = 5-methyltetrahydrofolate; 5,10-methyleneTHF = 5,10-methylenetetrahydrofolate; 5,10-methenyl THF = 5,10-methenyltetrahydrofolate; 10-formyl THF = 10-formyltetrahydrofolate; Hcy = homocysteine; Met = methionine; SAM = s-adenosyl methionine; SAH = s-adenosyl homocysteine; dUMP = deoxyuridine monophosphate; dTMP = deoxythymidine monophosphate; AICAR = 5-amino-4-imidazole carboxamide ribonucleotide; FAICAR = 5-formamidoimidazole-4-carboxamide ribonucleotide; IMP = inosine monophosphate; SHMT = serine hydroxymethyltransferase; MTHFR = methylenetetrahydrofolate reductase; MS = methionine synthase [5].

Материал ва методлар. Илмий тадқиқотда 80 та бемор текширилди ва улар асосий гурухни ташкил этди. COVID-19 клиник белгилари ва касалликни оғирлик даражасидан келиб чиқиб, асосий гурух беморлари: I гурух – 20 та енгил даражали, II гурух – 26 та ўрта оғир даражали ва III гурух – 34 та оғир даражали гурухларига бўлинди. Беморларни бундай тартибда гурухларга бўлишда, биз Ўзбекистон Республикаси Соғлиқни Сақлаш Вазирлигининг “КОРОНАВИРУС ИНФЕКЦИЯСИ БИЛАН КАСАЛЛАНГАН БЕМОРЛАРНИ ДАВОЛАШ БЎЙИЧА ВАҚТИНЧАЛИК ТАВСИЯЛАР”

(<https://ssv.uz/uploads/documentation/823b672dcd7e9a5f0fde55db1cc18ab.pdf>) номли қўлланманинг 8-тахрирдан фойдаланлик. Гурухларни бу тартибда бўлишимиздан мақсад эса, текширилаётган ген полиморфизмлари ва касаллик оғирлиги орасида боғлиқлик борлигини аниқлаш бўлди.

Клиник тадқиқотда 80 та коронавирус инфекцияси билан касалланган беморлар қонида тромбофилия генлари текширилди. Беморлар веноз қонида MTHFR гени A1298C (rs 1801131), C677T (rs 1801133) полиморфизмлари детекция қилишда нуклеотидлар кетма-кетлиги полимераз занжирли реакция ёрдамида DT-Lite 48 амплификаторида, ДНК-технология (Россия) реагентларини қўллаган ҳолда амалга оширилди. Шунингдек, барча гурух беморлари ва соғлом текшириувчилар плазмасида гомоцистеин миқдори текширилди (ИФА методи орқали “Human” (Германия) реагентида) ва уларнинг генотиплари билан гомоцистеин миқдори орасадиа боғлиқлик текширилди.

Тадқиқот натижаларни статистик қайта ишлаш. Харди – Вайнберг мувозанатини ҳисобга олган ҳолда генотиплар учрашини баҳолаш учун ҳамда генотип ва аллеллар тақсимланиш даражасини таққослаш учун χ^2 мезони қўлланилди. Аллеллар ва генотипларнинг ассоциацияси орқали ўрганилган патологияга мойилликни мавжудлигини тасдиқлаш учун χ^2 мезони қўлланилган бўлса, аллеллар ва генотиплар ўрганилаётган касалликдаги патогенетик ахамияти нисбий хафви даражаси (RR) ва эхтимоллар нисбати (OR) 95 % ли ишонч интервали (95 % CI:) орқали тасдиқланди. $p < 0,05$ даражаси статистик ахамиятли деб қабул қилинди. Маълумотларга статистик ишлов бериш Statistica 6.1 (StatSoft, USA) дастурини қўллаган ҳолда амалга оширилди.

НАТИЖАЛАР. MTHFR генида rs1801133 полиморфизми аллелларигенотиплари тақсимланиши натижалари 1-жадвалда келтирилган.

1-жадвал

MTHFR 677 C>T (rs1801133) гени полиморфизмининг аллеллари ва генотипларининг тақсимланиш частотаси

Гурухлар	Аллеллар частотаси				Генотиплар тақсимланиш частотаси					
	C		T		C/C		C/T		T/T	
	n	%	n	%	n	%	n	%	n	%
Асосий гурух, (n = 80)	123	76,88	37	23,13	48	60	27	33,75	5	6,25
1-гурух, (n = 20)	38	95	2	5	18	90	2	10	0	0
2-гурух, (n = 26)	40	76,92	12	23,08	14	53,85	12	46,15	0	0
3-гурух, (n = 34)	45	66,18	23	33,82	16	47,06	13	38,24	5	14,71

Назорат гурухи, (n = 20)	38	95	2	5	18	90	2	10	0	0
-----------------------------	----	----	---	---	----	----	---	----	---	---

Шу аснода, MTHFR гени 677 C>T (rs1801133) полиморфизмида генотиплар тақсимланиши бўйича олинган кўрсаткичлар, Харди-Вайнберг қонуни асосида текширилди. Натижада, асосий ва назорат гурухидан олинган эмпирик кўрсаткичлар Харди-Вайнберг қонуни орқали аниқланган теоретик кўрсаткичларга нисбатан статистик ишонарли силжиш аниқланмади ($\chi^2 < 3,84$; P > 0,05). (2-жадвалда қаралсин).

2-жадвал

MTHFR гени 677 C>T (rs1801133) полиморфизмида эмпирик - кузатилган натижалар Харди-Вайнберг қонуни орқали хисобланган назарий - кутилган натижалар ўзаро солиштирмаси.

Асосий гурух				χ^2	p	df
Аллеллар	Аллелар тақсимланиши					
C	0,779					
T	0,231					
		Генотиплар тақсимланиши		χ^2	p	df
		ан	ган			
C/C	0,60		0,59			
C/T	0,3375		0,3555			
T/T	0,0625		0,0535			
Умумий	1		1	0,2	0,9	1
				0		

Назорат гурухи				χ^2	p	df
Аллеллар	Аллелар тақсимланиши					
C	0,95					
T	0,05					
		Генотиплар тақсимланиши		χ^2	p	df
		ан	ган			
C/C	0,90		0,90			
C/T	0,1		0,095			
T/T	0,0		0,05			
Умумий	1		1	0,0	0,9	1
				55	7	

Қизиқ томони, MTHFR 677 C>T (rs1801133) генида полиморфизмининг аллеллари ва генотипларининг тарқалиш частотасини ўрганиш шуни кўрсатдик, енгил даражали коронавирус инфекциясида атиги 2 та (10%) беморда C/T гетерозигот генотипи аниқланди (бу кўрсаткич назорат гурухи текширилувчилардан олинган натижага teng). Шу сабабли, тромбофилияга генетик мойиллик χ^2 , RR ва OR 95 % ли

ишонч интервали (95% CI) орқали тасдиқланмади: $\chi^2=0,0$; P=0,99; OR=1,0, 95% CI 0 (3-жадвалга қаранг).

3-жадвал.

Енгил даражали COVID-19 да MTHFR 677 C>T (rs1801133) генида полиморфизми аллел ва генотиплари тарқалиш частотаси фарқлари

Аллел ва генотиплар	Аллеллар ва генотиплар сони				2	P	R	I	95%CI	R	5%CI							
	1-гурух		Назорат гурухи															
		%																
C	38	95,0	38	95,0	0,0	p = 0,99	1,0	0,14 - 7,17	1,0	0 - 0								
T	2	5,0	2	5,0	0,0	p = 0,99	1,0	0,14 - 7,17	1,0	0 - 0								
C/C	18	90,0	18	90,0	0,0	p = 0,99	1,0	0,13 - 7,57	1,0	0 - 0								
C/T	2	10,0	2	10,0	0,0	p = 0,99	1,0	0,13 - 7,57	1,0	0 - 0								

Үрта оғир даражали COVID-19 да C, T аллеллар ва C/C, C/T, T/T генотиплар частотаси мос равища қўйидагича бўлди: 76,92%, 23,08% ва 53,85%, 46,15%, 0%. КИ ўрта оғир кечишида MTHFR 677 C>T (rs1801133) генида C/T генотипи учраши ишончли даражада юқори эканлиги аниқланди ва эҳтимоллар нисбати кўрсаткичига кўра C/T гетерозигот формали генотип КИ ўрта оғир формаси ривожланиш хавфини 7,7 марта ошириши (95% CI 1,69-35,12) аниқланди ва бу натижа статистик ахамиятлиги тасдиқланди ($\chi^2=7,0$; P=0,01). Бошқа томондан, C/C ёввойи генотипи COVID-19 ўрта оғир формаси ривожланишида протектикв ахамияти мавжудлиги топилди (OR=0,1; 95%CI: 0,03-0,59; $\chi^2=7,0$; P=0,01) (4-жадвал).

4-жадвал.

Ўрта оғир даражали COVID-19 да MTHFR 677 C>T (rs1801133) генида полиморфизми аллел ва генотиплари тарқалиш частотаси фарқлари

Аллел ва генотиплар	Аллеллар ва генотиплар сони				2	P	R	I	95%CI	R	95%CI							
	II-гурух		Назорат гурухи															
C	40	76,9	38	95,0	5,7	p = 0,025	0,8	0,45 - 1,47	0,2	0,04 - 0,73								
T	12	23,	2	5,0	5,7	p = 0,025	1,2	0,1 - 15,88	5,7	1,37 - 23,71								
C/C	14	5,8	18	90,0	,0	p = 0,01	0,6	0,25 - 1,44	0,1	0,03 - 0,9								
C/T	12	46,2	2	10,0	7,0	p = 0,01	4,6	1,92 - 11,09	7,7	1,69 - 35,12								

Оғир даражали COVID-19 да C, T аллеллар ва C/C, C/T, T/T генотиплар частотаси мос равища қўйидагича бўлди: 66,18%, 33,82% ва 47,06%, 38,24%, 14,71%. MTHFR 677 C>T (rs1801133) гени полиморфизмидаги аллел ва генотипларининг тарқалиш частотаси фарқлари таҳлил қилинганда, COVID-19 оғир

кечиши ва гетерозигот С/Т генотипи учраши орасида тўғри боғлиқлик аниқланди: $\chi^2=5,0$; $P=0,05$; $OR=5,6$, 95% CI 1,24-25,09. Бу эса минор аллел ва гетерозигот генотиплар COVID-19 оғир кечишини индуцирловчи омил эканлигидан далолат беради. Бошқа томондан, нормал гомозигот генотипи С/С КИ оғир формаси ривожланишида химоявий таъсир эфекти мавжудлигини кўратди ($OR=0,1$; 95%CI: 0,02-0,42; $\chi^2=10,0$; $P=0,01$) (5-жадвал).

5-жадвал.

Оғир даражали КИда MTHFR 677 C>T (rs1801133) гени полиморфизми аллел ва генотиплари тарқалиш частотаси фарқлари

Аллел ва генотиплар	Аллеллар ва генотиплар сони				2	P	R	I	95% C	R	95% CI							
	III-гурух		Наз орат гурухи															
C	45	66,2	38	95,0	11,8	p = 0,01	0,7	0,44 - 1,09	0,1	0,03 - 0,38								
T	23	33,8	2	5,0	11,8	p = 0,01	1,4	0,1 - 20,22	9,7	2,65 - 35,6								
C / C	16	47,1	18	90,0	10,0	p = 0,01	0,5	0,25 - 1,11	0,1	0,02 - 0,42								
C / T	13	38,2	2	10,0	5,0	p = 0,05	3,8	1,92 - 7,62	5,6	1,24 - 25,09								

Шуниндек, MTHFR генида иккинчи полиморф вариантини - rs1801133 ўрганиш натижасида аллеллари ва генотиплари тақсимланиши кўрсаткичлари 2-жадвалда келтирилгандек бўлди (6-жадвал).

6-жадвал

MTHFR 1298 A>C (rs1801131) гени полиморфизмининг аллеллари ва генотипларининг тақсимланиш частотаси

Гурухлар	Аллеллар частотаси				Генотиплар частотаси				тақсимланиш			
	A		C		A / A		A / C		C / C			
		%		%		%		%		%		
Асосий гурух($n = 80$)	25	8,13	5	1,88	8	0	9	6,25	3	,75		
1-гурух, ($n = 20$)	9	7,5	,	,5	9	5	9		5			
2-гурух, ($n = 26$)	9	5	3	5	3	0	3	0	5			
3-гурух, ($n = 34$)	7	9,12	1	0,88	6	7,06	5	4,12	4	,82		
Назорат гурухи($n=20$)	9	7,5	,	,5	9	5	9		5			

MTHFR гени rs1801131 полиморфизмидеги генотиплар тақсимланиши бўйича олинган кўрсаткичлар, Харди-Вайнберг қонуни асосида текширилганда шу маълум бўлдики, асосий ва назорат гурухидан олинган натижалар Харди-Вайнберг қонунига мос келиши аниқланди ($\chi^2 < 3,84$; $P > 0,05$) (5.1.10-жадвал).

7-жадвал

MTHFR гени rs1801131 полиморфизмининг эмпирик - кузатилган натижалар Харди-Вайнберг қонуни орқали хисобланган назарий - кутилган натижаларга ўзаро солиштирмаси.

Асосий гурӯҳ					
Аллеллар	Аллелар тақсимланиши				
A	0,781				
C	0,219				
Генотиплар	Генотиплар тақсимланиши		χ^2	P	d f
	Кузатилаётг ан	Кутилаёт ган			
A/A	0,6	0,61			
A/C	0,3625	0,342			
C/C	0,0375	0,048			
Умумий	1	1	9	0,2 6	0,8 1

Назорат гурӯҳи					
Аллеллар	Аллелар тақсимланиши				
A	0,975				
C	0,025				
Генотиплар	Генотиплар тақсимланиши		χ^2	P	d f
	Кузатилаётг ан	Кутилаёт ган			
A/A	0,95	0,95			
A/C	0,05	0,05			
C/C	0,00	0,00			
Умумий	1	1	1	0,0 9	0,9 1

Енгил даражали COVID-19 касаллигига келтирилган полиморфизмини аҳамияти текширилганида A, C аллеллар ва A/A, A/C, C/C генотиплар частотаси назорат гурӯҳи кўрсаткичларига мос равишда қўйидагича бўлди: 97,5% , 2,5% ва 95%, 5%, 0%. Аллел ва генотипларининг тарқалиш частотаси фарқлари таҳлил қилинганда енгил даражадаги COVID-19 ва гетерозигот A/C генотипи учраши орасида боғлиқлик аниқланмади: $\chi^2=0,0$; $P=0,99$; $OR=1,0$, 95% CI 0 (8-жадвал).

8-жадвал

Енгил даражали COVID-19 да MTHFR 1298 A>C (rs1801131) генида полиморфизми аллел ва генотиплари тарқалиш частотаси фарқлари

Аллел ва генотиплар	Аллеллар ва генотиплар сони				2	P	R	I	95%CI	R	I	95%CI								
	I-гурух		Назорат гурухи																	
A	39	97,5	9	97,5	0,0	p = 0,99	1,0	0,06 - 15,65	,0	0 - 0										
C	1	2,5		2,5	0,0	p = 0,99	,0	0,06 - 15,65	,0	0 - 0										
A/A	19	95,0	9	95,0	0,0	p = 0,99	,0	0,06 - 16,23	,0	0 - 0										
A/C	1	5,0	1	5,0	0,0	p = 0,99	,0	0,06 - 16,23	,0	0 - 0										

Үрта оғир даражали COVID-19 да A, C аллеллар ва A/A, A/C, C/C генотиплар частотаси мос равища 75%, 25% ва 50%, 50%, 0% ни ташкил этган бўлса, назорат гурухида бу кўрсаткичлар 97,5% , 2,5% ва 95%, 5%, 0% ни кўрсатди. MTHFRгени 1298 A>C полиморфизмининг аллел ва генотипларининг тарқалиш частотаси фарқлари таҳлил қилинганда, COVID-19 ўрта оғир кечиши кузатилган беморларда минор аллел – С ва гетерозигот генотипи – A/C назорат гурухидан аниқланган натижаларга нисбатан сезиларли кўп тарқалганлиги аниқланди. Шундан қилиб, унинг патогенетик таъсири текширилганида гетерозигот A/C генотипини COVID-19 касаллигини ўрта оғир шаклини индуцирловчи ахамияти топилди – OR=19,0 (95% CI 3,28-109,9)ва бу натижа статистик ишонарлилиги тасдиқланди $\chi^2=10,8$; P=0,01. Шуниндек, ёввойи гомозигот A/A генотипи эса ўрта оғир даражали КИ патогенезида химоявий таъсирга эга эканлиги аниқланди(OR=0,1; 95%CI: 0,01-0,3; $\chi^2=10,8$; P=0,01) (9-жадвал).

9-жадвал

Ўрта оғир даражали COVID-19 да MTHFR 1298 A>C (rs1801131) генида полиморфизми аллел ва генотиплари тарқалиш частотаси фарқлари

Аллел ва генотиплар	Аллеллар ва генотиплар сони				2	P	R	95%CI	R	95%CI						
	2-гурух		Назорат гурухи													
	N	%	n	%												
A	9	5,0	9	97,5	8,9	p = 0,01	0,8	0,46 - 1,29	0,1	0,01 - 0,42						
C	3	5,0	,5	,9	,9	p = 0,01	,3	0,03- 54,01	3,0	2,4 - 70,3						
A/A	3	0,0	9	5,0	0,8	p = 0,01	,5	0,22 - 1,25	,1	0,01 - 0,3						

/C	A	3	0,0	,0	0,8	= 0,01	p	0,0	4,19- 23,84	9,0	109,9	3,28 -
----	---	---	-----	----	-----	--------	---	-----	-------------	-----	-------	--------

Оғир даражали COVID-19 касаллиги кузатилган беморлар гурухида A, C аллеллар ва A/A, A/C, C/C генотиплар частотаси мос равишида қўйидагича бўлди: 69,12%, 30,88% ва 47,06%, 44,12%, 8,82%. MTHFR генида 1298 A>C полиморфизми аллел ва генотипларининг патогенетик ахамияти таҳлил қилингандан, COVID-19 оғир кечиши ва ноxуш A/C генотипи учраши орасида статистик ишончли боғлиқлик аниқланди: $\chi^2=9,2$; P=0,01; OR=15,0, 95% CI 2,62-85,97. MTHFR гени rs1801131 A/A генотипи эса касалликнинг оғир формаси ривожланишида кучли протектив ахамияти мавжудлиши тасдиқланди (OR=0,05; 95% CI: 0,01-0,25) (10-жадвал).

10-жадвал

Оғир даражали COVID-19 да MTHFR генида 1298 A>C (rs1801131) полиморфизми аллел ва генотиплари тарқалиш частотаси фарқлари

Алл ел ва генотип- лар	Аллеллар ва генотиплар сони				2	P	R	I	95%CI	R	I	95%CI								
	III- гурух		Назо рат гурухи																	
A	7	69,1	9	97,5	2,5	p = 0,01	,7	1,08	0,47 -	,1	0,28	0,01 -								
C	1	0,9	,	,5	2,5	p = 0,01	,4	61,82	0,03 -	7,4	84,93	3,58 -								
A /A	6	7,1	9	5,0	2,7	p = 0,01	,5	1,04	0,24 -	,05	0,25	0,01 -								
A /C	5	4,1	,	,0	,2	p = 0,01	,8	17,25	4,51 -	5,0	85,97	2,62 -								

Шуниндек, биз татқиқот давомида, MTHFR гени бўйича текширилган полиморфизмларда кузатилган турли хил генотипдаги беморларнинг гомоцистеин кўрсаткичларини аниқладик (11-жадвал). Унга кўра, биринчи гурухда олинган натижалар назорат гурухида кузатилган натижалардан статистик ишонарли фарқ қилмади ($p>0,05$) (биринчи гурухда гетерозигот генотипли беморлар етарлича аниқланмаганлиги сабабли, уларда статистик солиштириш амалга оширилмади). Шунга ўхшаш тарзда, иккинчи (COVID-19 ўртача оғирликдаги формаси билан касалланганлар) ва учинчи (COVID-19 оғир формаси билан касалланганлар) гурухдаги ёввойи – гомозигот генотипли беморлар натижалари ва назорат гурухи кўрсаткичлари орасида хам статистик ишонарли фарқ кузатилмади ($p>0,05$). Бошқа томондан, C/T (MTHFR гени 677 C>T полиморфизмida) ва A/C (MTHFR гени 1298 A>C полиморфизмida)иккинчи гурухдаги гетерозигот генотипли беморлар натижалари назорат гурухи текширилувчиларида олинган натижалардан мос

3– SON / 2022 - YIL / 15 - NOYABR

равишида, тахминан 3,3 марта хамда 3 марта юқори бўлган бўлса ($p<0,05$), учинчи гурух кўрсаткичлари назорат гурухнидан мос равишида, тахминан 3,44 ва 3,3 марта кўп бўлди ($p<0,05$). Қизик томони, иккинчи ва учинчи гурухларда C/T гетерозигот генотипли беморлар, шу гурухдаги C/C генотипли беморлардан, тахминан 2,84 ва 2,9 марта юқорилиги аниқланди ($p<0,05$). Шунингдек, иккинчи ва учинчи гурух A/C генотипли беморларда гомоцистеин концентрацияси бўйича олинган натижадан, A/A – ёвойи генотипли беморларда кузатилган натижалардан, тахминан 2,2 ва 2,4 марта юқорилиги тасдиқланди ($p<0,05$) (11-жадвал).

11-жадвал

MTHFR гени 677 C>T ва 1298 A>C полиморфизмларидаги турли генотипларда гомоцистеин (мкмоль/л) бўйича олинган натижалар

Гурух лар	MTHFR 677 C>T		MTHFR 1298 A>C	
	C/C	C/T	A/A	A/C
Биринчи Гурух	5,2 ± 0,4	-	5,2 ± 0,4	-
Иккинчи Гурух	5,6 ± 0,5	15,9 ± 2,1 ^{ab}	6,8 ± 0,7 ^a	14,7 ± 1,9 ^{ab}
Учинчи Гурух	5,71 ± 0,5	16,6 ± 1,5 ^{ab}	6,5 ± 0,7	15,8 ± 1,3 ^{ab}
Назорат гурухи	4,8± 0,7	-	4,8± 0,7	-

Кўрсатма: a - назорат гурухига нисбатан статистик ишончлилик – $p<0,05$; b - шу полиморфизмдаги хамда шу гурухдаги, ёвойи гомозигот гурухига нисбатан статистик ишончлилик – $p<0,05$.

Мухокамаси.

MTHFR гени 1(1p36.3) хромосома калта елкасида жойлашган бўлиб, 11 экзонлардан иборат. Кодловчи ген узунлиги тахминан 1980 жуфт нуклеотидлардан иборат. MTHFR гени rs1801133 (C677T) полиморфизмидаги эса 677 цитозин нуклеотидини тиминга алмашиниб қолиши натижасида, оқсил-фермент каталитик доменида аланин валинга алмашади (p.Ala222Val). Натижада мутант гомозигот вариантда фермент фаоллиги 70% га, гетерозигот генотипда 35% га камаяди. C677аллель бўйича гомозиготалик генотипда фермент фаолиятини кескин камайганлиги натижасида, қондагигомоцистеин концентрацияси нормадан кескин даражада, гетерозигота генотипда эса нормадан сезиларли юқори бўлади. Бу холат айниқса, қонда фолатлар миқдори кам бўлганда кучли намоён бўлади [18].

Бизнинг тадқиқот натижалариға кўра, 11-жадвалга келтирилганидек MTHFR гени 677 C>T ва 1298 A>C полиморфизмларини гипергомоцистеинмиқдорлари текширилганида, гетерозигот генотипли (C/T ва A/C) беморларда гомозигот ёввойи (C/C ва A/A) типли беморларга нисбатан гомоцистеин статистик ишонарли баланд эканлиги аниқланди. Қизик томони, ёввойи гомозигот генотипли беморлар ва назорат гурухи текширувчиларида гомоцистеин концентрациясига нисбатан ишонарли фарқ аниқланмади.

Бизга ўхшаш натижа, яъни MTHFR гени 677 C>T ва 1298 A>C полиморфизмлари ва гипергомоцистеинемия орасида мусбат боғланиш, бир неча тадқиқотлар орқали тасдиқланган, хусусан, Юкуб М. ва унинг хамкаслари [21], Каккамо Д ва унинг хамкаслари [22] ва бошқа бир нечта тадқиқотлар.

Маълумки, гомоцистеин қон томирлар эндотелиал қаватини заарлайди ва коагуляция жараёнини фаоллаштиради. Эндотелий қон томир девори ва циркуляция қилувчи қон орасидаги баръер бўлиб, вазоактив моддалар, медиаторлар ва уларнинг ингибиторларини ишлаб чиқаради. Шу биологик фаол моддалар орқали эндотелий қон томир тонусини бошқаришда асосий аҳамиятга эга. Азот оксида мазкур моддалардан биридир. У эндотелий томонидан доим ишлаб чиқарилиб туради ва бир нечта химоя функцияларига эга, жумладан вазодилатация, силлиқ мушаклар пролиферациясини тормозлаш, тромбоцит ва бошқа қон хужайраларининг агрегациясини камайтириш. Шу билан бирга азот оксида гомоцистеин билан реакцияга киришади ва уни «нейтраллайди». Бироқ гипергомоцистеинемияда нейтраллаш амалга ошмайди.

Шуниндек, гомоцистеин кислород радикаллари хосил бўлишини индуцирлайди. Бунинг механизми, гипергомоцистеин натижасида баъзи антиоксидант ораси, глутатионпероксидаза, супероксиддисмутаза ва гемоксигеназа-1 фаолиятини ингибирлайди. Бундан ташқари, гипергомоцистеин NADF-оксидазалар фаолтиягини оширади, натижада кўплаб эркин оксидатив радикаллар хосил бўлади. Бу эсалипидлар эндотелиал синтетазаси фаоллиги камайишига олиб келади. Натижада гипергомоцистеинемия шароитида вазодилатация ва эндотелий ҳимоясининг мухим омили бўлган азот оксидининг синтези камаяди [19, 20].

Гомоцистеин ошиши хисобига ривожланган оксидант стресси ва эндотелий дисфункцияси натижасида вазоактив модда ҳисбланган простациклин PGI₂ миқдорини камайтиради ва тромбоксан A₂ миқдорини оширади. Иккиси ҳам циклооксигеназа таъсирида арахидон кислотадан синтез бўлади. Тромбоксан тромбоцитлар агрегациясини ошириш орқали тромб ҳосил бўлишини кучайтиради, қон томирларнинг кучли торайишига олиб келади. Простациклин асосан қон томирлар эндотелийсида синтез бўлиб, тромбоксдан фарқ қилган холда қон томир мушакларини бўшаштиради, тромбоцитлар агрегациясини сусайтиради, фибринолизни стимуллайди [20].

Тадқиқотларда келтирилишича, гомоцистеин эластазани фаоллаштиради ва эластин деградацияси натижасида эндотелий мүрт бўлиб қолади, бу эса қон томир деворини деформацияловчи кальций, холестерин ва липидлар деполанишига олиб келади. Шу билан бирга гомоцистеин эндотелина-1 ишлаб чиқарилишини камайтиради. Эндотелин-1 қон томир эндотелийси томонидан синтезланувчи ва 21 та аминокислотадан иборат оқсилдир. У силлик мушак хужайралари маҳсус трансмембрана рецепторлари билан боғланиш орқали уларнинг пролиферациясини кучайтиради ва кучли вазоконстриктор таъсирга эга. Нормада эндотелиал хужайралар томир юзасига қон хужайраларининг адгезияси бўлишига қаршилик қиласи, антитромботик ва фибринолитик хусусиятларга эга. Гипергомоцистеинемия натижасида эндотелий жароҳатланиши эса тромбоцитлар агрегациясини кучайтиради [21].

Адабиётларда келтирилишича, гомоцистеин плазминоген тўқима активатори фаолиятини бузади, липопротеин ва фибрин бирикишига сабабчи бўлади, натижада фибринолиз сусаяди. Шу билан бирга гомоцистеин юқори концентрацияда табий антикоагулантлар бўлган антитромбин III ва протеин фаолиятини бузади, эндотелий нормал антитромботик хусусиятларини ўзгартиради, бу эса V, X ва XII қон ивиш омилларини фаоллаштиради [21].

Бундан ташқари, гомоцистеин нафақат эндотелиал хужайраларга алтерацион таъсир кўрсатади, балки бу хужайраларда гипометилланиш келтириб чиқаргани сабабли уларни регенерациясини бузади. Шунингдек, фолат цикли дефицити натижасида гепатоцитлардан ЗЮЛП (зичлиги юқори липопротеин) продукцияси камаяди, бу эса атеросклероз эхтимолини оширади[22].

Гипергомоцистеин индуцирган эндотелиал дисфункция келиб чиқиши сабабли, шунингдек, COVID-19 патогенезида цитокинли бўрон бу жараёнига кобормид тарзда рол ўйнаши натижасида, bemорларда тизимили яъллигланиш жараёни келиб чиқиши мумкин. Мутант аллел тутувчи bemорларда эса, метилтетрагидрофолат редуктаза ферментини фаоллиги паст бўлиши натижасида, COVID-19 билан касалланган bemорларда бу касалликнинг ўртача ёки оғир формада ўтишига мойилликни яратиши мумкин. Зоро, гипергомоцистеинемия эндотелиал дисфункцияни чақириб эндотелиоцитларда про-яллиглантирувчи/анти-яллиглантирувчи ва про-коугулант/анти-коагулант моддаларни нисбатини бузиш орқали яллиганиш ва гиперкоугяцияга мойиллик яратади. Бу холатда, COVID-19 билан касалланганларда касаллик тезда оғир формага ўтиш эхтимолини ошириши мумкин. SARS-CoV-2 ва гипергомоцистеинларни, айниқса эндотелиал тизимга коморбид патологик таъсири тизимили яллиганиш, ишемик ва тромбозлар ривожланиш эхтимолини сезиларли оширади.

Хулоса. Ўзбек популяциясида ўтказилган тажриба хулосасига кўра, MTHFR гени 677 C>T ва 1298 A>C полиморфизмларини ноёввойи аллелини тутувчи bemорларда, назорат гурухи, хамда ёввойи гомозигот генотипли bemорларга

нисбатанқондаги гомоцисеин миқдори сезиларли баланд бўлди. Шунингдек, беморларда келтирилган полиморфизлардаги, мос равишда Т ва С мутант аллелини тутган bemorlarning деярли барчасида касаллик ўрта ва оғир даражада ўтганлиги аниқланди. Бу эса, COVID-19 индуцирлаган гиперэргик ялифланиш ва гиперкоагулопатия холатларига қўшимча тарзда гипергомоцистеин кобормид таъсири натижасида гомозигот ёввойи генотипли bemorларга нисбатан касаллик оғир формада ўтиш эҳтимоли сезиларли ошар экан.

ФОЙДАЛАНИЛГАН АДАБИЁТЛАР:

1. Brandalize AP, Bandinelli E, Borba JB, Félix TM, Roisenberg I, Schüler-Faccini L. Polymorphisms in genes MTHFR, MTR and MTRR are not risk factors for cleft lip/palate in South Brazil. *Braz J Med Biol Res.* 2007 Jun;40(6):787-91. doi: 10.1590/s0100-879x2006005000112. PMID: 17581676.
2. Armando D'Angelo, Jacob Selhub; Homocysteine and Thrombotic Disease. *Blood* 1997; 90 (1): 1–11. doi: <https://doi.org/10.1182/blood.V90.1.1>.
3. Vidmar Golja M, Šmid A, Karas Kuželički N, Trontelj J, Geršak K, Mlinarič-Raščan I. Folate Insufficiency Due to MTHFR Deficiency Is Bypassed by 5-Methyltetrahydrofolate. *J Clin Med.* 2020 Sep 2;9(9):2836. doi: 10.3390/jcm9092836. PMID: 32887268; PMCID: PMC7564482.
4. Zheng Y, Cantley LC. Toward a better understanding of folate metabolism in health and disease. *J Exp Med.* 2019 Feb 4;216(2):253-266. doi: 10.1084/jem.20181965. Epub 2018 Dec 26. PMID: 30587505; PMCID: PMC6363433.
5. R. Araki, K. Imada, M. Hikichi, Y. Arai, H. Kashima and C. Maruyama, "Effects of Riboflavin Interactions with 5-Methyltetrahydrofolate and Tetrahydrofolate on Changes in Homocysteine and Folate Derivative Levels, with and without Methionine Addition," *Food and Nutrition Sciences*, Vol. 4 No. 9, 2013, pp. 956-963. doi: 10.4236/fns.2013.49124.
6. Lu H, Stratton CW, Tang YW. Outbreak of pneumonia of unknown etiology in Wuhan, China: the mystery and the miracle // *J. Med. Virol.*-2020.-№92(4).-B.401–402
7. Zhu N.etal., ‘ANovelCoronavirusfromPatientswithPneumoniainChina, 2019’, *N. Engl. J. Med.*, vol. 382, no. 8, pp. 727–733, Feb. 2020, doi: 10.1056/NEJMoa2001017
8. Lu R., Zhao X., Li J. et al. Genomic characterisation and epidemiology of 2019 novel coronavirus: implications for virus origins and receptor binding. *Lancet.* 2020;395(10224):565-574; doi: 10.1016/S0140-6736(20)30251-8
9. CukerA., PeyvandiF. Coronavirusdisease 2019 (COVID-19): Hypercoagulability. Literature review, 2020).
10. Cheng VC, Lau SK, Woo PC, Yuen KY. Severe acute respiratory syndrome coronavirus as an agent of emerging and reemerging infection. *Clin. Microbiol Rev.* 2007;20:660–694. doi: 10.1128/CMR.00023-07.

3– SON / 2022 - YIL / 15 - NOYABR

11. Alenina N, Bader M. ACE2 in Brain Physiology and Pathophysiology: Evidence from Transgenic Animal Models. *Neurochem Res.* 2019;44(6):1323-1329. doi:10.1007/s11064-018-2679-4
12. V'kovski, P., Kratzel, A., Steiner, S. *et al.* Coronavirus biology and replication: implications for SARS-CoV-2. *Nat Rev Microbiol* 19, 155–170 (2021). <https://doi.org/10.1038/s41579-020-00468-6>
13. Yuki K, Fujiogi M, Koutsogiannaki S. COVID-19 pathophysiology: A review. *Clin Immunol.* 2020;215:108427. doi:10.1016/j.clim.2020.108427
14. Fu Y, Cheng Y, Wu Y. Understanding SARS-CoV-2-Mediated Inflammatory Responses: From Mechanisms to Potential Therapeutic Tools. *Virol Sin.* 2020;35(3):266-271. doi:10.1007/s12250-020-00207-4
15. Savla SR, Prabhavalkar KS, Bhatt LK. Cytokine storm associated coagulation complications in COVID-19 patients: Pathogenesis and Management. *Expert Rev Anti Infect Ther.* 2021;19(11):1397-1413. doi:10.1080/14787210.2021.1915129.
16. Ebbesen LS, Olesen SH, Kruhøffer M, Ingerslev J, Ørntoft TF. Folate deficiency induced hyperhomocysteinemia changes the expression of thrombosis-related genes. *Blood Coagul Fibrinolysis.* 2006;17(4):293-301. doi:10.1097/01.mbc.0000224849.19754.85.
17. den Heijer M, Rosendaal FR, Blom HJ, Gerrits WB, Bos GM. Hyperhomocysteinemia and venous thrombosis: a meta-analysis. *Thromb Haemost* 1998; 80:874–877
18. Van Meurs JB, PareG, Schwartz SM, *etal.* Common genetic loci influencing plasmahomocysteineconcentrationsandtheireffectonriskofcoronaryarteryisease. *Am J Clin Nutr.* 2013;98(3):668-676.
19. Фетисова И.Н. Полиморфизм генов фолатногоцикла и болезни человека // Вестник Ивановской медицинскойакадемии.2006.Т.11,№1-2.С.77–82
20. Доброхотова Ю.Э., Джобава Э.М., Аминтаева Л.А., Алиева А.Н., Артизанова А.П., Болкунова Н.В. Эндотелиальнаядисфункция:гомоцистеин и оксид азота у беременных групп высокого риска. Современныеподходы ктерапии. Роль фолиевой кислоты//Проблемы репродукции. 2010.Т.16,№6.С.98–103
21. Yakub M, Moti N, Parveen S, Chaudhry B, Azam I, Iqbal MP. Polymorphisms in MTHFR, MS and CBS genes and homocysteine levels in a Pakistani population. *PLoS One.* 2012;7(3):e33222. doi: 10.1371/journal.pone.0033222. Epub 2012 Mar 21. PMID: 22470444; PMCID: PMC3310006.
22. Caccamo D, Gorgone G, Currò M, Parisi G, Di Iorio W, Menichetti C, Belcastro V, Parnetti L, Rossi A, Pisani F, Ientile R, Calabresi P. Effect of MTHFR polymorphisms on hyperhomocysteinemia in levodopa-treated Parkinsonian patients. *Neuromolecular Med.* 2007;9(3):249-54. doi: 10.1007/s12017-007-8006-x. PMID: 17914182.

3– SON / 2022 - YIL / 15 - NOYABR

23. Cheng Z, Yang X, Wang H. Hyperhomocysteinemia and Endothelial Dysfunction. *CurrHypertensRev.* 2009 May 1;5(2):158-165. doi: 10.2174/157340209788166940. PMID: 20495681; PMCID: PMC2873778.